

UNIVERSITATEA TEHNICĂ „Gheorghe Asachi” din IASI  
FACULTATEA DE AUTOMATICĂ ȘI CALCULATOARE  
DOMENIUL: Calculatoare și Tehnologia Informației  
SPECIALIZAREA: Calculatoare Încorporate

## **SISTEM DE MONITORIZARE ȘI CONTROL MULTI-NOD INPUT 2: POTENȚIOMETRU**

Student:

Constantin-Alexandru ARHIP

Daniel BUDU

Cornelia-Ștefana HRISCU

**Iași, 2026**

---

# Cuprins

<b>1</b>	<b>Introducere</b>	<b>2</b>
1.1	Descriere . . . . .	2
1.1.1	Arhitectura Sistemului și Distribuția Echipelor . . . . .	2
1.1.2	Schema Logică a Transmisiei . . . . .	2
1.2	Placa de dezvoltare . . . . .	2
1.3	Arhitectură Microcontroler (MCU) . . . . .	3
1.4	Caracteristici Hardware și Periferice . . . . .	3
1.5	Ecosistem de Dezvoltare . . . . .	3
1.6	Implementare Tehnică . . . . .	3
<b>2</b>	<b>Implementarea Controlului pentru Potențiometru și Integrarea CAN</b>	<b>5</b>
2.1	Arhitectura Hardware și Interfațarea . . . . .	5
2.1.1	Descrierea Componentei: Potențiometrul . . . . .	5
2.1.2	Configurarea Perifericului LPADC (Low-Power ADC) . . . . .	6
2.2	Arhitectura Software și Gestiona Evenimentelor . . . . .	6
2.2.1	Sincronizarea prin SCTimer și Mașina de Stări . . . . .	6
2.2.2	Sistemul de Buffer FIFO și Prioritizarea Mesajelor . . . . .	6
2.3	Procesarea Datelor și Transmisia CAN-FD . . . . .	7
2.3.1	Algoritmul de Scalare și Histerezis Software . . . . .	7
2.3.2	Integrarea CAN-FD (Flexible Data-rate) . . . . .	7
2.3.3	Mecanisme de Reziliență și Handshake . . . . .	7
<b>3</b>	<b>Concluzii și Direcții de Dezvoltare</b>	<b>8</b>
3.1	Concluzii . . . . .	8
3.2	Direcții de Dezvoltare Viitoare . . . . .	8
3.2.1	Optimizarea Consumului de Energie . . . . .	8
3.2.2	Implementarea unei Interfețe Grafice (HMI) . . . . .	8
3.2.3	Extinderea Magistralei CAN . . . . .	8
3.2.4	Algoritmi de Control Avansati . . . . .	8

# Capitolul 1. Introducere

## 1.1. Descriere

Acest proiect implementează un sistem de control distribuit utilizând protocolul de comunicație industrială **CAN (Controller Area Network)**. Obiectivul principal este transferul de date de la nodurile de intrare (senzori) către nodurile de execuție (actuatori), sub supravegherea unui nod dedicat de monitorizare. Întregul sistem este construit pe platforma **NXP FRDM-MCXN947**.

### 1.1.1. Arhitectura Sistemului și Distribuția Echipelor

Sistemul este compus din 5 noduri, fiecare fiind gestionat de o echipă specifică:

1. **Potențiometru (Input):** achiziția analogică (ADC) și transmiterea poziției către rețea pentru controlul unghiular sau de intensitate.
2. **Senzor de Temperatura/Umiditate (Input):** monitorizarea condițiilor de mediu și partajarea acestor parametri pe magistrală.
3. **Monitor:** interceptarea pachetelor. Acesta nu modifică datele, ci analizează traficul pentru validarea comunicării între celelalte noduri.
4. **Servomotor (Output):** Interpretează datele primite (de la potențiometru și senzor) și generează semnalul PWM necesar poziționării mecanice.
5. **LED RGB (Output):** Oferă feedback vizual pe baza datelor de la senzori.

### 1.1.2. Schema Logică a Transmisiei

Figura 1.1 ilustrează modul în care datele circulă de la cele două surse de intrare către restul componentelor sistemului.

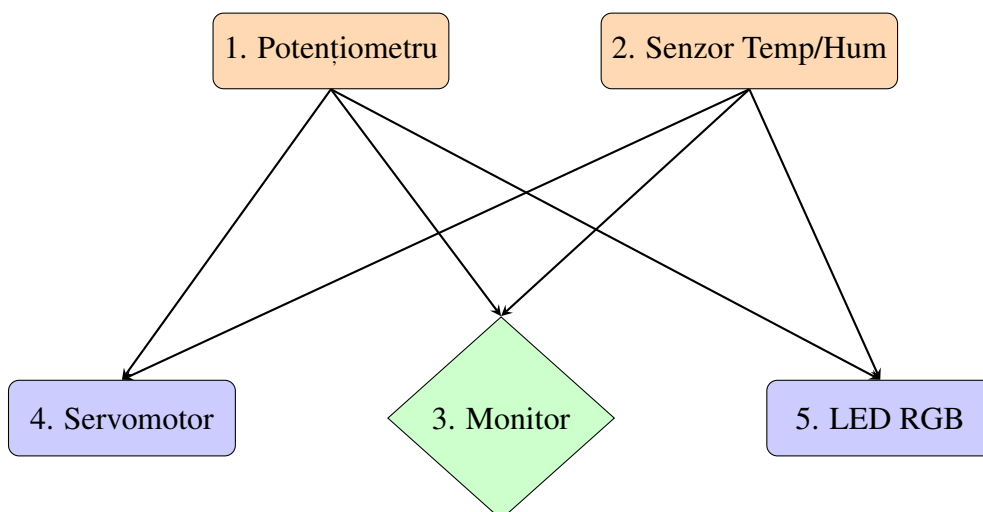


Figura 1.1. Schema de distribuție

## 1.2. Placa de dezvoltare

Placa de dezvoltare **FRDM-MCXN947** este o platformă compactă și scalabilă, concepută pentru evaluarea microcontrolerelor din seria **MCX N94x**. Aceasta este ideală pentru aplicații de tip Edge Computing, automatizări industriale și Internet of Things (IoT).

### **1.3. Arhitectură Microcontroler (MCU)**

Nucleul plăcii este reprezentat de MCU-ul **MCX N947**, care dispune de următoarele caracteristici:

- **Dual-Core:** 2x Arm® Cortex®-M33 rulând la frecvențe de până la 150 MHz.
- **Accelerator AI/ML:** Include unitatea de procesare neurală **eIQ® Neutron NPU** pentru sarcini de inteligență artificială la nivel hardware.
- **Securitate:** Subsistem de securitate **EdgeLock® Secure Enclave** (Core Profile).
- **Memorie:** Până la 2 MB de memorie Flash și 512 KB de memorie SRAM cu paritate/ECC.

### **1.4. Caracteristici Hardware și Periferice**

Placa FRDM-MCXN947 integrează o gamă largă de componente pentru prototipare rapidă:

- **Conecțivitate Ethernet:** Port RJ45 integrat pentru aplicații de rețea.
- **Interfețe USB:** Port USB Type-C High-Speed pentru date și alimentare.
- **Expansiune:** Compatibilitate cu shield-uri **Arduino Uno R3** și conectori **MikroBus™** pentru senzori și actuatori.
- **Debug Integrat:** On-board **MCU-Link** debugger bazat pe CMSIS-DAP, eliminând necesitatea unui programator extern.
- **Interfață Audio:** Suport pentru ieșiri audio de tip MQS (Medium Quality Sound).

### **1.5. Ecosistem de Dezvoltare**

Suportul software este asigurat prin **MCUXpresso Developer Experience**, oferind:

1. **IDE:** MCUXpresso IDE, VS Code (cu extensii NXP) sau IAR/Keil.
2. **SDK:** Drivere periferice optimizate, stive de protocoale și exemple de cod (RTC, PWM, Ethernet).
3. **Configurare:** Instrumente grafice pentru rutarea pinilor și configurarea ceasurilor (Pins, Clocks, Peripherals Tool).

### **1.6. Implementare Tehnică**

Pentru realizarea comunicării, s-au utilizat următoarele resurse hardware ale microcontrolerului MCX N947:

- **FlexCAN:** Configurarea baud-rate-ului și a filtrelor de acceptare (Hardware Acceptance Filters).
- **GPIO & PWM:** Pentru controlul direct al servomotorului și al LED-ului.
- **ADC:** Pentru conversia semnalului analogic de la potențiometru.

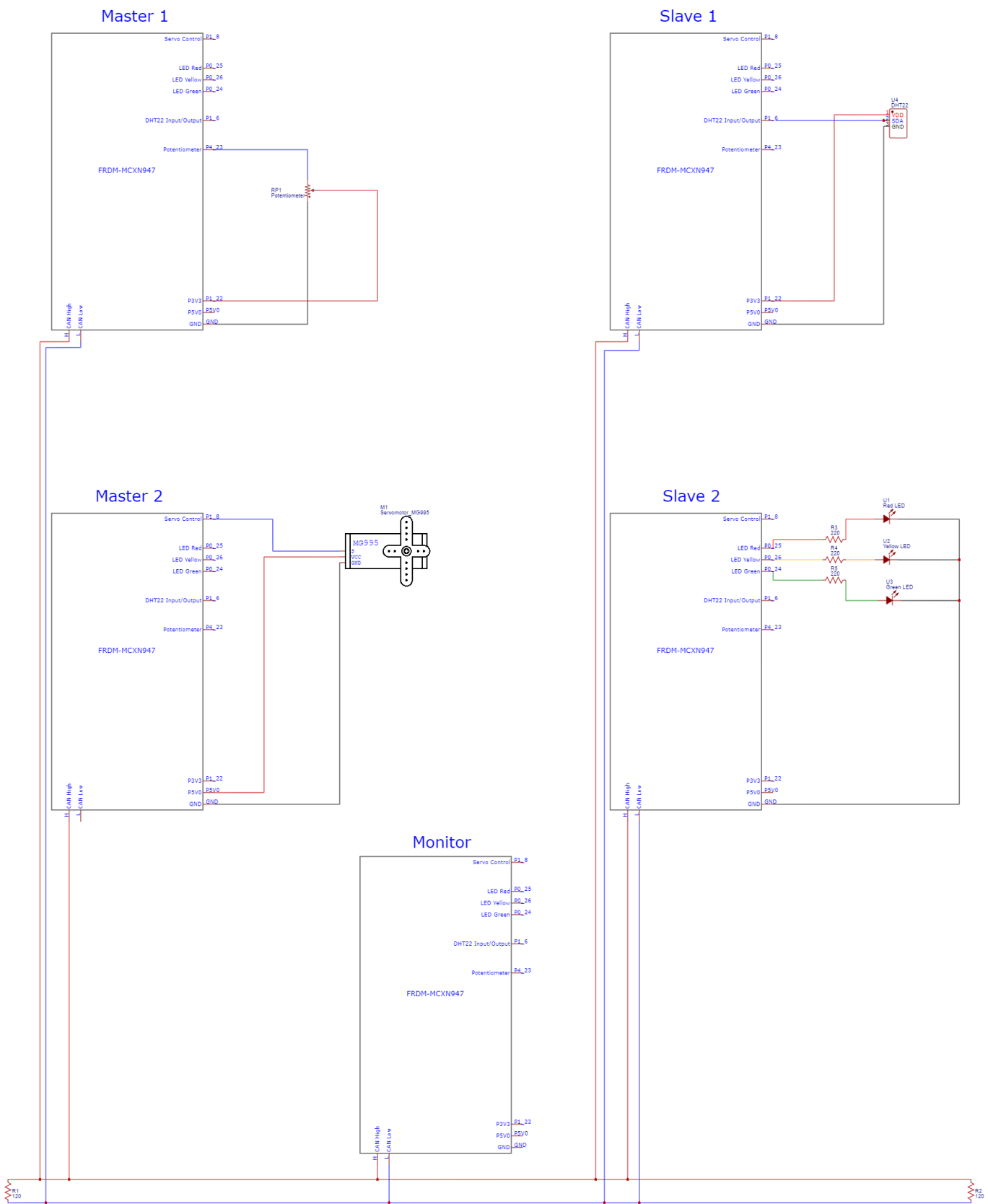


Figura 1.2. Schema Arhitecturii Sistemului

## Capitolul 2. Implementarea Controlului pentru Potențiometru și Integrarea CAN

### 2.1. Arhitectura Hardware și Interfațarea

#### 2.1.1. Descrierea Componenței: Potențiometrul

Potențiometrul utilizat în cadrul acestui proiect este un senzor analogic rezistiv de tip rotativ, configurat ca un divizor de tensiune variabil. Dispozitivul este alimentat la o tensiune stabilizată de 3.3V furnizată de placa de dezvoltare, iar cursorul central (wiper) este conectat la pinul de intrare analogică P4\_23 (canalul ADC corespunzător). Această configurație permite transformarea mișcării mecanice într-o variație de tensiune liniară, interpretată ulterior de unitatea de conversie analog-digitală (LPADC).

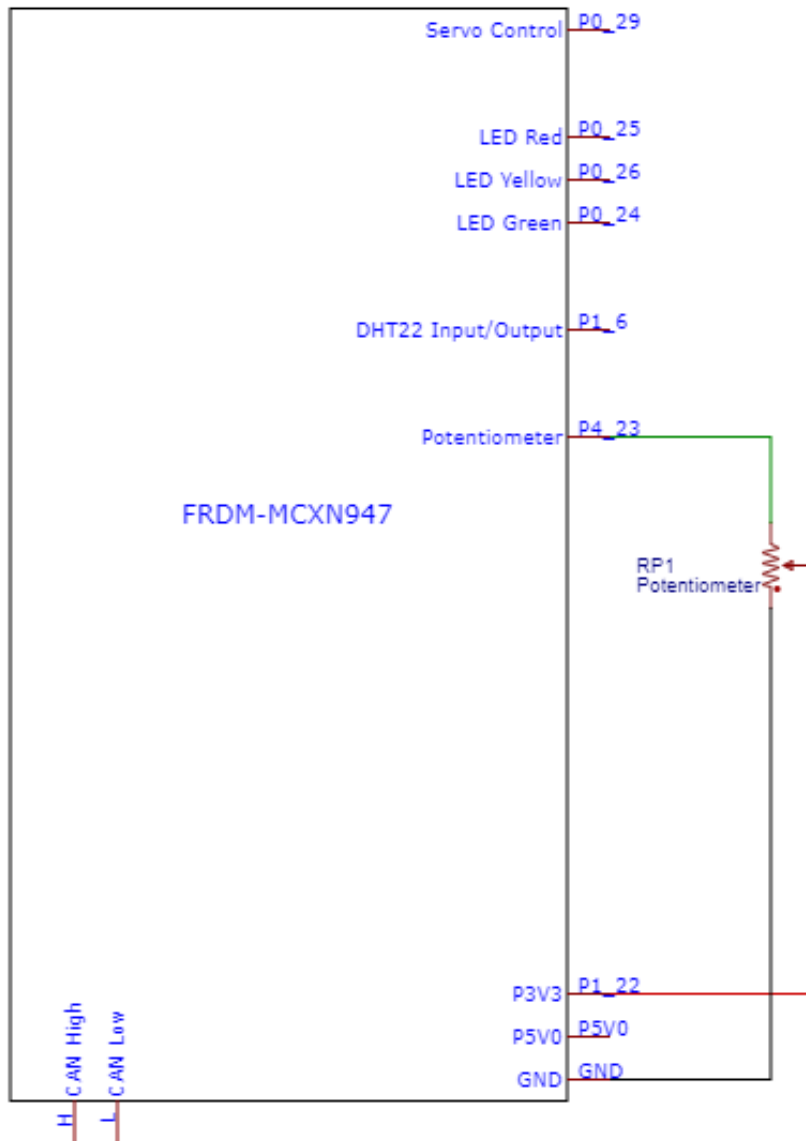


Figura 2.1. Schema Arhitecturii Potențiometrului și conexiunea la MCXN947

### **2.1.2. Configurarea Perifericului LPADC (Low-Power ADC)**

Pentru a asigura o achiziție de date de înaltă rezoluție cu un consum energetic redus, perifericul LPADC a fost configurat utilizând structurile de tip `lpadc_config_t`. Parametrii critici setați sunt:

- **Power Level:** Bitul PWRSEL din registrul de configurare este setat pe `kLPADC_PowerLevelAlt4`, permitând o frecvență de eșantionare ridicată și stabilitate în regim tranzitoriu.
- **Referință și Rezoluție:** S-a optat pentru utilizarea referinței interne VREFH, eliminând fluctuațiile cauzate de zgomotul de pe linia de alimentare. Rezoluția este fixată la **12 biți** (`kLPADC_ConversionResolutionHigh`), rezultând într-un interval digital între 0 și 4095.
- **Calibrare Automată:** Procedura `LPADC_DoAutoCalibration` este apelată la fiecare porțire a sistemului pentru a compensa derivele termice și erorile de offset ale circuitului intern de eșantionare-menținere (*Sample-and-Hold*).
- **Hardware Average:** S-a activat acumularea hardware a 8 eșantioane per conversie pentru a reduce zgomotul de înaltă frecvență (*jitter*) fără a încărca procesorul.

## **2.2. Arhitectura Software și Gestionearea Evenimentelor**

### **2.2.1. Sincronizarea prin SCTimer și Mașina de Stări**

Implementarea se bazează pe o arhitectură orientată pe evenimente (*event-driven*). Se utilizează perifericul **SCTimer** (State Configurable Timer) configurat ca un numărător pe 32 de biți. Acesta este programat să genereze o intrerupere periodică (*Match Interrupt*) la un interval de *2000ms*.

Această abordare este superioară funcțiilor `delay()` clasice deoarece:

1. Permite intrarea procesorului în stări de consum redus (*Sleep Mode*) între citiri.
2. Garantează un timp de eșantionare determinist, esențial pentru stabilitatea controlului în rețeaua CAN.
3. Handler-ul de intrerupere `SCT0_IRQHandler` execută doar setarea unui flag (`g_triggerSensorRead`), menținând latența sistemului la un nivel minim.

Mașina de stări a aplicației (`app_state_t`) gestionează fluxul logic prin următoarele tranziții:

- **STATE\_LISTEN:** Nodul se află în stare pasivă, procesând cadrele primite de la alte noduri (ex: mesaje de sincronizare sau interogări).
- **STATE\_SEND:** Activată de flag-ul timer-ului sau de un eveniment extern (buton), această stare preia datele din buffer și apelează driverul FlexCAN.
- **STATE\_WAIT:** Stare de „gardă” (back-off) de *500ms* utilizată pentru a preveni saturarea magistralei în cazul unor transmisii repetitive și pentru a permite arbitrarea priorității pentru alte noduri.

### **2.2.2. Sistemul de Buffer FIFO și Prioritizarea Mesajelor**

Deoarece viteza de transmisie pe magistrala CAN poate varia în funcție de trafic, s-a implementat o coadă circulară (FIFO) care acționează ca un strat de abstractizare între producerea datelor și trimiterea lor fizică.

- **Evenimente Analogi:** Valoarea potențiometrului este introdusă în FIFO cu ID-ul `TX_MSG_ID_TIMER`.

- **Evenimente Digitale:** Apăsarea butoanelor **SW2** și **SW3** declanșează îintreruperi de tip GPIO care introduc instantaneu în FIFO valoarea brută eșantionată care este mapată în procente. Acest lucru demonstrează natura multi-sursă a sistemului.

### 2.3. Procesarea Datelor și Transmisia CAN-FD

#### 2.3.1. Algoritmul de Scalare și Histerezis Software

Pentru a evita fenomenul de *chatter* (transmisii inutile cauzate de oscilația ultimului bit ADC), am implementat un algoritm de filtrare bazat pe pași de granularitate de 5%. Valoarea brută eșantionată este mai întâi mapată în procente folosind constanta `g_LpadcFullRange`.

Calculul filtrării este descris de formula:

$$P_{filtered} = \left\lfloor \frac{P_{raw} + 2.5}{5} \right\rfloor \cdot 5 \quad (2.1)$$

Această logică asigură că actuatorii (LED-urile sau servomotoarele din rețea) primesc comenzi stabile, prelungind durata de viață a componentelor mecanice.

#### 2.3.2. Integrarea CAN-FD (Flexible Data-rate)

Protocolul utilizat este CAN-FD, configurat cu o rată de transfer de date de **2 Mbps** și o rată nominală (arbitrare) de **500 kbps**.

- **Non-Blocking I/O:** Transmisia se realizează prin `FLEXCAN_TransferFDSendNonBlocking`, permitând codului să continue procesarea în timp ce perifericul se ocupă de serializarea bițiilor pe cablu.
- **Callback Function:** La finalizarea transmisiei, funcția de tip callback (`flexcan_callback`) confirmă succesul operațiunii prin setarea flag-ului `txComplete`.

#### 2.3.3. Mecanisme de Reziliență și Handshake

Sistemul a fost proiectat pentru a funcționa într-un mediu nesigur.

Funcția `FLEXCAN_PHY_Config_Safe` este critică: la pornire, nodul încearcă să trimită un mesaj de „bună ziua” (*handshake*). Dacă nu există un alt nod care să trimită semnalul de confirmare (**ACK**), software-ul nu rămâne blocat într-o buclă infinită datorită unui contor de tip *timeout*.

Dacă *timeout* ajunge la zero, funcția `FLEXCAN_TransferFDAbortSend` este apelată pentru a curăța registrele transmițătorului și a permite sistemului să funcționeze în regim local, măcând eroarea de comunicare în log-urile de sistem. Această abordare garantează robustețea necesară aplicațiilor de tip industrial.

## Capitolul 3. Concluzii și Direcții de Dezvoltare

### 3.1. Concluzii

Proiectul a demonstrat succesul implementării unui sistem distribuit de monitorizare și control bazat pe arhitectura **FRDM-MCXN947** și protocolul de comunicare **CAN**. Integrarea nodului de input pentru potențiometru a evidențiat capacitatele avansate ale perifericului **LPADC**, oferind o precizie ridicată și o stabilitate a datelor prin utilizarea algoritmilor de filtrare software.

Principalele realizări ale proiectului includ:

- **Eficiența Conversiei:** Utilizarea rezoluției de 12 biți și a funcțiilor de auto-calibrare a permis obținerea unor date analogice fidele, eliminând erorile de offset hardware.
- **Stabilitatea Sistemului:** Implementarea filtrului de tip „snapping” la intervale de 5% a redus semnificativ jitter-ul pe magistrala CAN, asigurând o mișcare fluidă a servomotorului și un control stabil al culorilor LED-ului RGB.
- **Robustezul Comunicării:** Protocolul CAN a asigurat schimbul de date între cele 5 noduri fără pierderi de informație, demonstrând viabilitatea sistemului într-un context de automatizare industrială.

În concluzie, utilizarea ecosistemului NXP MCX a facilitat dezvoltarea rapidă a unei rețele de senzori și actuatori, oferind un echilibru optim între consumul redus de energie și puterea de procesare necesară.

### 3.2. Direcții de Dezvoltare Viitoare

Deși sistemul actual este funcțional și stabil, acesta poate fi extins și optimizat prin următoarele direcții:

#### 3.2.1. Optimizarea Consumului de Energie

O dezvoltare ulterioară ar putea presupune utilizarea modurilor de *Deep Sleep* ale microcontrolerului MCXN947. Nodul potențiometru ar putea fi configurat să „trezească” sistemul doar atunci când detectează o schimbare a tensiunii analogice peste un anumit prag (*Wake-on-ADC*), reducând astfel consumul mediu.

#### 3.2.2. Implementarea unei Interfețe Grafice (HMI)

Adăugarea unui ecran tactil (TFT/OLED) pe nodul de monitorizare ar permite vizualizarea grafică a evoluției temperaturii (DHT22) sau a poziției potențiometrului în timp real, oferind o experiență de utilizare superioară.

#### 3.2.3. Extinderea Magistralei CAN

Sistemul poate fi extins prin adăugarea de noi noduri, cum ar fi senzori de proximitate sau module de comunicație wireless (Wi-Fi/Bluetooth) pentru a crea o punte între rețeaua CAN locală și o platformă de tip **IoT Cloud**.

#### 3.2.4. Algoritmi de Control Avansați

Pentru nodul servomotor, se poate implementa un control de tip **PID** (Proporțional-Integral-Derivativ). Aceasta ar permite o poziționare mult mai precisă și o eliminare completă a oscilațiilor la schimbările bruse de setpoint trimise de potențiometru.

## Bibliografie

- [1] NXP Semiconductors, *FRDM-MCXN947 Board User Guide*, Document Number: FRD-MMCXN947UG, disponibil la adresa oficială NXP.
- [2] NXP Semiconductors, *MCX N Series Microcontrollers Reference Manual*, rev. 1, 2024, oferind detalii despre perifericele LPADC, FlexCAN și SCTimer utilizate în proiect.
- [3] NXP Semiconductors, *MCUXpresso SDK API Reference Manual*, capitolul *LPADC Driver* și *FlexCAN Driver*, pentru implementarea funcțiilor de calibrare și transfer non-blocant.
- [4] International Organization for Standardization (ISO), *ISO 11898-1:2015 Road vehicles — Controller area network (CAN) — Part 1: Data link layer and physical signalling*, utilizat pentru standardizarea protocolului CAN-FD.
- [5] NXP Semiconductors, *Application Note: Configuring LPADC for High Precision Measurements on MCX Series*, oferind baze pentru implementarea algoritmului de eșantionare și filtrare digitală.